

Г-626

30/V-68

ОБЪЕДИНЕННЫЙ  
ИНСТИТУТ  
ЯДЕРНЫХ  
ИССЛЕДОВАНИЙ

Дубна



13 - 3817

И.А.Голутвин, Ю.В.Заневский, Ю.Т.Кирюшин,  
В.Д.Пешехонов, В.Д.Рябцов, И.М.Ситник

МАГНИТОСТРИКЦИОННАЯ ИСКРОВАЯ КАМЕРА  
В МАГНИТНОМ ПОЛЕ

ЛАБОРАТОРИЯ ВЫСОКИХ ЭНЕРГИЙ

1968

13 - 3817

7298/2 np.  
И.А.Голутвин, Ю.В.Заневский, Ю.Т.Кирюшин,  
В.Д.Пешехонов, В.Д.Рябцов, И.М.Ситник

МАГНИТОСТРИКЦИОННАЯ ИСКРОВАЯ КАМЕРА  
В МАГНИТНОМ ПОЛЕ

Направлено в Nuclear Instruments and Methods

## 1. Введение

В методике бесфильмовых искровых камер, в частности магнитострикционных, большой интерес представляет возможность работы последних в магнитных полях, что определяется, главным образом, характеристиками магнитострикционных материалов, помещенных в магнитное поле.

В проволочных магнитострикционных искровых камерах магнитное поле тока искры, проходящего по одной из нитей электрода, вызывает в магнитострикционной линии механический импульс – прямой магнитострикционный эффект. При прохождении механического импульса через приемную катушку возникает импульс напряжения, величина которого должна быть достаточной для регистрации – обратный магнитострикционный эффект. Величина магнитострикционного эффекта зависит от крутизны кривой магнитострикции  $\lambda = \lambda(H)$ . С увеличением магнитного поля уменьшается роль магнитострикции смещения ( $\frac{\partial \lambda}{\partial H} = c_1$ ), вращения. При достижении технического насыщения магнитострикция определяется параллелепипедом ( $\frac{\partial \lambda}{\partial H} = c_2$ , где  $c_2 \ll c_1$ ), интенсивность которого уменьшается по мере приближения к абсолютному насыщению<sup>1/2</sup>. Величина и направление магнитострикции зависят как от состава, термомеханической обработки материала, так и от ориентации магнитного поля.

Нами проводились исследования некоторых магнитострикционных материалов с целью использования лучших из них для съема информации с искровой камеры, помещенной в магнитное поле. Определялось влияние поля на прямой и обратный магнитострикционные эффекты. Проводилась непосредственная проверка работы искровой камеры в магнитном поле.

## 2. Исследование магнитострикционных материалов

### в магнитном поле

Для определения влияния магнитного поля на характеристики магнитострикционных материалов использовался стендовый электромагнит с напряженностью поля до 20 кэ и однородностью поля не хуже 0,5%. Исследуемые материалы помещались в устройство, обеспечивающее постоянное для различных образцов натяжение, параллельность полюсам магнита. Смещение образца от первоначального положения не превышало  $\pm 0,1$  мм. Для возбуждения магнитострикционных сигналов использовался генератор импульсного возбуждающего тока (ГИВТ). Измерение амплитудных зависимостей производилось с помощью осциллографа. Блок-схема установки показана на рис. 1.

Исследовались образцы с различной термической обработкой<sup>3/</sup>:

1. К-49 сечением  $0,35 \times 0,05$  мм<sup>2</sup>;
2. К-49 " "  $\phi 0,1$  мм;
3. К-49 " "  $\phi 0,2$  мм;
4. К-65  $\phi 0,2$  мм.

При определении влияния магнитного поля на прямой магнитострикционный эффект один или несколько токовых датчиков 1+5 (рис. 1) помещались вне поля магнита (рассеянное поле не превышало 50 э). Приемная катушка выполнена из провода  $\phi 0,05$  мм, длиной 1,5 мм, число витков  $\omega = 150$ . При определении влияния поля на обратный эффект приемная катушка помещалась в зазор магнита, токовые датчики располагались вне поля. На рис. 2 (а) и (в) показаны относительные зависимости амплитуды магнитострикционных сигналов от величины магнитного поля для обратного и прямого эффектов соответственно (образец К-49  $\phi 0,2$  мм). Суммарное действие поля показано зависимостью 2 (с). Произведение кривых (а) и (в) с точностью не хуже 10% совпадает с кривой (с). Пунктиром показана зависимость, рассчитанная для полей  $H > 11$  кэ. Более сильное действие поля на прямой эффект (в) вызвано, по-видимому, взаимодействием поля магнита с полем датчика  $H_d$

$$H_d = \frac{21}{C R} \approx 200 / \text{э},$$

$R$  – расстояние от датчика до магнитострикционной линии. Ход кривых (а) и (в) дает основание полагать, что в полях  $H \leq 5$  кэ магнитострикция определяется процессом смещения:

$$\frac{\partial \lambda}{\partial H} = \text{const}, \quad \text{где } \lambda = \frac{\Delta l}{l}.$$

В полях  $5 < H < 16$  кэ, где определяется процесс вращения,  $\frac{\partial \lambda}{\partial H}$  уменьшается по мере приближения к техническому насыщению. Для кривой (с) зависимость определяется  $(\frac{\partial \lambda}{\partial H})^2$ .

На рис. 3 показаны амплитудные зависимости магнитострикционного сигнала от величины поля для следующих образцов:

- а) К-49  $0,35 \times 0,05$  мм<sup>2</sup> (неотожженный);
- в) К-49  $0,2$  мм (неотожженный);
- с) К-65  $0,2$  мм (неотожженный);
- д) К-49  $0,2$  мм (полутожиг).

Как и для кривой 2 (с), при этих измерениях приемная катушка и датчики находились в одинаковом поле. Измерения проводились при натяжении  $\sim 8 \frac{\text{кг}}{\text{мм}^2}$ . Термическая обработка, как видно по кривым (в) и (д), дает увеличение  $\frac{\partial \lambda}{\partial H}$  в области смещения за счет крутизны магнитострикции, вызываемой вращением. Следует заметить, что амплитудная зависимость от поля для К-65  $\phi 0,2$  мм в полях  $H > 11$  кэ несколько лучше, чем у остальных образцов (кривая с).

На рис. 4 приведены амплитудные зависимости для образцов К-49  $\phi 0,2$  мм (полутожиг) и К-65  $\phi 0,2$  мм (неотожженный) – кривые (а) и (в) соответственно. Измерения проводились в поле магнита СП-40 с однородностью не хуже 0,5%. Натяжение образцов составляло  $\sim 15 \text{ кг} \cdot \text{мм}^{-2}$ . С учётом зависимости от натяжения<sup>3/</sup> кривые совпадают с кривыми (д) и (с) (рис. 3).

Приведенная на рис. 5 относительная зависимость величины сигнала от угла наклона  $\phi$  магнитострикционной линии к полюсам магнита указывает на неоднозначность действия продольного  $H_x$  и поперечного  $H_y$  полей. Измерения проводились при  $H = 6$  кэ для образца К-65  $\phi 0,2$  мм.

Попытка уменьшить действие поля на обратный эффект путем экранировки приемной катушки в полях  $H > 6$  кэ не дала положительных результатов.

### 3. Искровая камера в магнитном поле

Схема эксперимента для проверки возможности работы магнитострикционной камеры в магнитном поле показана на рис. 6. SC-1  $\div$  SC-4 — двухкоординатные искровые камеры с магнитострикционным считыванием и площадью электродов  $200 \times 200$  мм<sup>2</sup>. SC-6,7 — магнитострикционные искровые камеры с площадью электродов  $480 \times 480$  мм<sup>2</sup>.

Исследуемой являлась однокоординатная искровая камера SC-5 с площадью электродов  $200 \times 200$  мм<sup>2</sup>, помещенная в поле магнита СП-40, имеющего полюса размером  $1000 \times 1500$  мм<sup>2</sup>. Магнитострикционная линия из материала К-49  $\phi 0,2$  мм (полиутжиг) располагалась перпендикулярно магнитному полю. Натяжение линии составляло  $\approx 15$   $\frac{\text{кг}}{\text{мм}}$ . Все камеры продувались смесью из  $\approx 75\%$  Ne,  $\approx 25\%$  He и  $\approx 1,5\%$  C<sub>2</sub>H<sub>5</sub>OH.

Запуск производился многократно за цикл ускорителя от телескопа, состоящего из сцинтилляционных S<sub>1</sub>, S<sub>2</sub>, S<sub>3</sub> и черенковского углового С счетчиков, включенных на совпадение.

В эксперименте определялась точность регистрации X координат частиц камерой SC-5 при двух значениях поля  $H_1 = 9$  кэ и  $H_2 = 12,5$  кэ. Наличие двух приемных катушек X<sub>1</sub> и X<sub>2</sub> позволило получить гистограммы сумм  $T_x = X_1 + X_2$ , косвенным образом характеризующие точность регистрации искры. Гистограммы сумм для камеры в магнитном поле при двух значениях напряженности поля не отличаются от гистограмм для камер вне поля. Эффективность исследуемой камеры была не хуже остальных.

Для более полной оценки точности искровой камеры SC-5 траектория частиц измерялась при помощи камер SC-1  $\div$  SC-4; SC-6,7 и SC-1  $\div$  SC-4; SC-5 и результаты сравнивались.

1. Была измерена дисперсия пучка в SC-6,7 без магнитного поля (за счёт рассеяния в веществе между SC-4 и SC-6,7):

$$\overline{\sqrt{D_{6,7}(\theta)}} = 7,3 \pm 0,2 \text{ мм.}$$

2. Измерена дисперсия пучка в SC-6,7 с магнитным полем (за счёт рассеяния и импульсного распределения пучка):

$$\overline{\sqrt{D_{6,7}(\theta + p)}} = 8,0 \pm 0,2 \text{ мм.}$$

3. Определена дисперсия пучка в SC-6,7 только за счёт импульсного распределения пучка:

$$\overline{\sqrt{D_{6,7}(p)}} = 3,3 \pm 0,3 \text{ мм.}$$

4. Найдена ожидаемая дисперсия пучка в камере SC-5 (из данных по камерам SC-1  $\div$  SC-4 и SC-6,7):

$$\overline{\sqrt{D_5 \text{ожид.}}} = 1,50 \pm 0,15 \text{ мм.}$$

5. Измерена дисперсия пучка в камере SC-5:

$$\overline{\sqrt{D_5 \text{измер.}}} = 1,60 \pm 0,20 \text{ мм.}$$

Полагая, что D<sub>5</sub>измер. и D<sub>5</sub>ожид. отличаются из-за ошибки, вносимой камерой SC-5, мы определили дисперсии погрешности измерения координат в камере SC-5:

$$\sigma = 0,50 \pm 0,25 \text{ мм.}$$

Это значение ошибки не отличается от ошибок, полученных при работе камер вне магнитного поля.

### 4. Заключение

Проведенные измерения позволяют сделать следующие выводы:

1. Наилучшими амплитудными свойствами в магнитных полях  $H > 10$  кэ обладают линии из материала К-65  $\phi 0,2$  мм.
2. Работа магнитострикционной камеры в поле до 13 кэ показала, что точность регистрации координат искры не ухудшается.
3. Резкая зависимость амплитуды сигнала от величины продольной составляющей поля накладывает определенные требования на конструкцию двухкоординатной камеры<sup>4/</sup>.

4. Для работы искровых камер в полях  $H > 15$  кэ приемные катушки, по-видимому, необходимо помещать вне поля.

Авторы выражают благодарность В.А.Свиридову за внимание и интерес к работе, студенту ТПИ В.А.Войлошникову за работу по изучению характеристик магнитострикционных материалов в магнитном поле, Д.А.Смолину и В.П.Пугачевичу за помощь при проведении эксперимента.

### Л и т е р а т у р а

1. L.V.Chuvillo et al., Nucl. Instr. and Meth., 54, 217 (1967).
2. К.П.Белов, "Упругие, тепловые и электрические явления в ферромагнетиках", Москва, 1957 г.
3. Т.В.Беспалова, И.А.Голутвин, Ю.В.Заневский. Препринт ОИЯИ 13-3656, Дубна, 1968.
4. G.Brautti, CERN 66-30, NPD, 1966.

Рукопись поступила в издательский отдел  
16 апреля 1988 года.

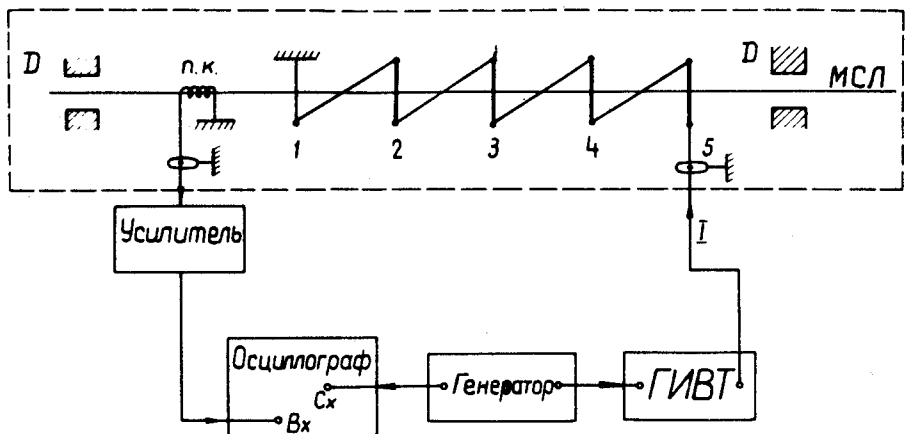


Рис. 1. Блок-схема установки для определения амплитудной зависимости от величины магнитного поля.

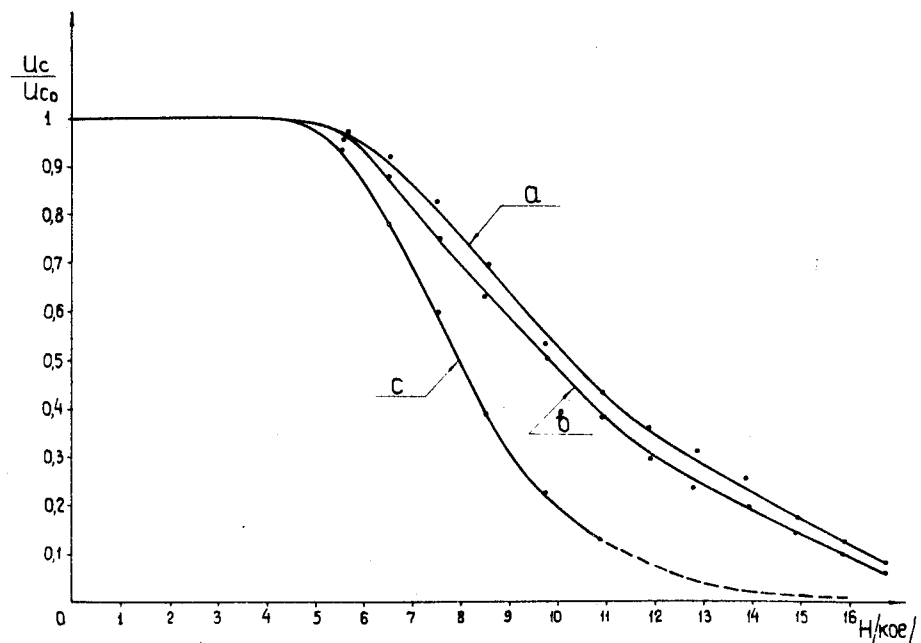


Рис. 2. Зависимость амплитуды магнитострикционных сигналов от величины магнитного поля:  
а) катушка в магнитном поле;  
б) токовый датчик в магнитном поле;  
в) катушка и токовый датчик в магнитном поле.

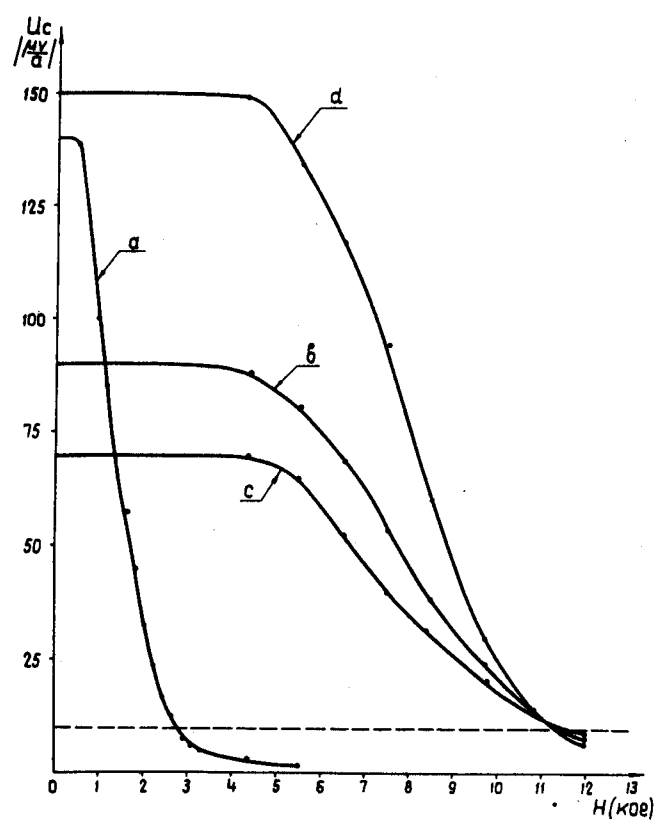


Рис. 3. Амплитудные зависимости от величины магнитного поля для образцов:  
 а) К-49 0,35 x 0,05 мм<sup>2</sup> (неотожженный);  
 в) К-49 φ 0,2 мм (неотожженный);  
 с) К-65 φ 0,2 мм (неотожженный);  
 д) К-49 φ 0,2 мм (полуотжиг).

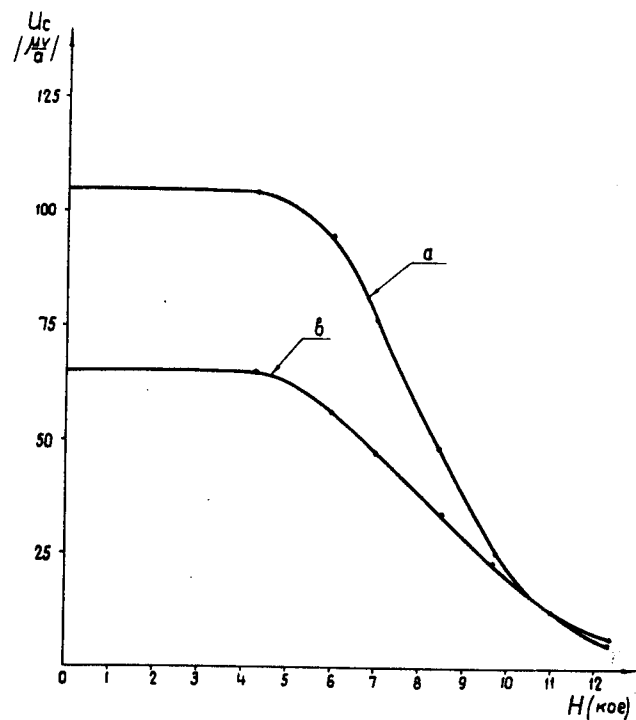


Рис. 4. Амплитудные зависимости от величины поля, измеренные в магните СП-40, для образцов:  
 а) К-49 φ 0,2 (полуотжиг);  
 в) К-65 φ 0,2 (неотожженный).

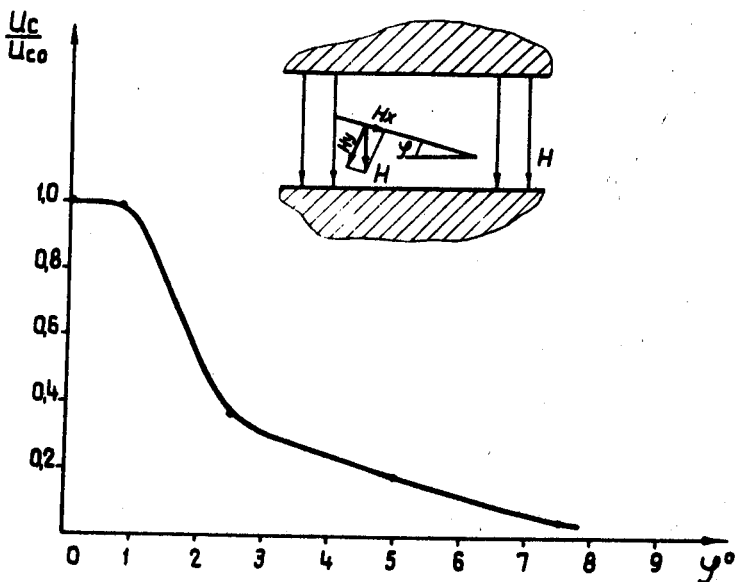


Рис. 5. Относительная зависимость величины сигнала от угла наклона  $\phi$  магнитострикционной линии к полюсам магнита.

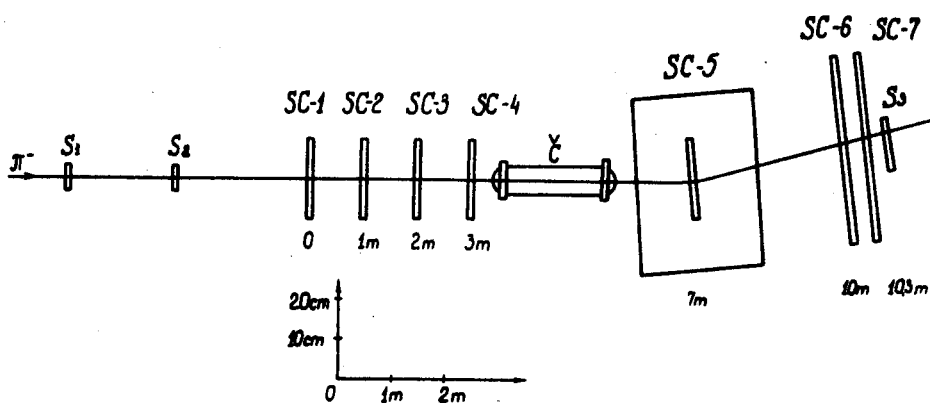


Рис. 6. Схема эксперимента для проверки работы магнитострикционной искровой камеры в магнитном поле.